УДК 514.853+517.938.5

#### П.Е. Рябов

## Фазовая топология одного частного случая интегрируемости Горячева в динамике твердого тела

На основе метода булевых функций, развитого М.П. Харламовым для алгебраически разделимых систем, исследована фазовая топология одного частного случая интегрируемости Горячева в задаче о движении твердого тела в жидкости. Найдена бифуркационная диаграмма отображения момента и указан инвариант Фоменко, позволяющий классифицировать систему с точностью до грубой лиувиллевой эквивалентности.

Библиография: 15 названий.

**Ключевые слова:** уравнения Кирхгофа, вполне интегрируемые гамильтоновы системы, алгебраическое разделение переменных, бифуркационная диаграмма, бифуркации лиувиллевых торов.

DOI: 10.4213/sm8297

#### § 1. Введение

Уравнения Кирхгофа движения твердого тела в жидкости в общем случае имеют вид

$$\dot{M} = M \times \frac{\partial H}{\partial M} + \alpha \times \frac{\partial H}{\partial \alpha}, \qquad \dot{\alpha} = \alpha \times \frac{\partial H}{\partial M},$$
 (1.1)

где  $M\in\mathbb{R}^3$  — импульсивный момент,  $\pmb{\alpha}\in\mathbb{R}^3$  — импульсивная сила,  $H=H(\pmb{M},\pmb{\alpha})$  — полная энергия. Известными интегралами системы (1.1) являются геометрический интеграл

$$\Gamma = \alpha_1^2 + \alpha_2^2 + \alpha_3^2,$$

интеграл площадей

$$L = M_1\alpha_1 + M_2\alpha_2 + M_3\alpha_3$$

и полная энергия H. На совместном уровне

$$\mathscr{P}_{a,\ell} = \{ \Gamma = a^2, \ L = \ell \}, \qquad \dim \mathscr{P}_{a,\ell} = 4,$$

система (1.1) гамильтонова с двумя степенями свободы, в связи с чем для ее интегрируемости достаточно в дополнение к интегралу H указать еще один интеграл, независимый с H почти всюду.

В работе [1] найден случай интегрируемости, в котором

$$H = \frac{1}{2}(M_1^2 + M_2^2) + M_3^2 + \frac{1}{2}\left[c(\alpha_1^2 - \alpha_2^2) + \frac{b}{\alpha_3^2}\right]. \tag{1.2}$$

В предположении

$$L = 0 (1.3)$$

Работа выполнена при поддержке Российского фонда фундаментальных исследований (грант № 14-01-00119) и Правительства Волгоградской области (грант № 13-01-97025).

система (1.1) на  $\mathscr{P}_{a,0}$  имеет первый интеграл

$$F = \left[ M_1^2 - M_2^2 - \frac{b(\alpha_1^2 - \alpha_2^2)}{a^2 \alpha_3^2} + c\alpha_3^2 \right]^2 + 4 \left[ M_1 M_2 - \frac{b\alpha_1 \alpha_2}{a^2 \alpha_3^2} \right]^2.$$

В частном случае b=0 этот интеграл найден С. А. Чаплыгиным в статье [2], там же выполнено и сведение задачи при b=0 к эллиптическим квадратурам. Дальнейшие обобщения рассматриваемая интегрируемая система получила в работе Х. М. Яхья [3]. В работе [4] на основе идей бигамильтонова подхода предложен вариант выбора переменных разделения случая Горячева.

В настоящей публикации представлено явное вещественное разделение переменных для случая Горячева, отличное от описанного в [4] и основанное на геометрическом подходе к разделению переменных, предложенном в [5], [6]. Это решение не требует привлечения каких-либо математических теорий. Полученные аналитические формулы позволяют исследовать фазовую топологию, в частности бифуркации лиувиллевых торов, и построить грубый инвариант Фоменко.

### § 2. Параметризация интегральных многообразий

В этом параграфе мы используем замену С. А. Чаплыгина (см. [2]) и геометрический подход к разделению переменных, предложенный в [5]–[7].

Вместо одного из интегралов H, F можно рассматривать интеграл в форме, указанной в [4]:

$$K = \left[ M_1^2 + M_2^2 + \frac{b}{\alpha_3^2} \right]^2 + 2c\alpha_3^2(M_1^2 - M_2^2) + c^2\alpha_3^4.$$

При условии (1.3) он выражается через H и F следующим образом:

$$K = F + \frac{4b}{a^2}H - \frac{b^2}{a^4}. (2.1)$$

Подходящим выбором направления подвижных осей и единиц измерения можно добиться того, чтобы было выполнено c=1 и a=1.

Введем переменные  $x, z, \xi$ , полагая

$$x^2 = \alpha_1^2 + \alpha_2^2, \qquad z = \alpha_3^2, \qquad \xi = M_1^2 + M_2^2 + \frac{b}{\alpha_3^2}.$$
 (2.2)

При b=0 соответствующие переменные были введены в [2] и привели к найденному там разделению. Следуя С. В. Ковалевской, введем также комплексную замену ( $\mathbf{i}^2=-1$ )

$$w_1 = M_1 + iM_2,$$
  $w_2 = M_1 - iM_2,$   
 $x_1 = \alpha_1 + i\alpha_2,$   $x_2 = \alpha_1 - i\alpha_2.$  (2.3)

Геометрический интеграл примет вид

$$x^2 + z = 1, (2.4)$$

а поскольку сама постановка задачи предполагает  $\alpha_3 \neq 0$ , из (1.3), (2.3), (2.4) получим

$$M_3 = -\frac{x_2 w_1 + x_1 w_2}{2\sqrt{z}}. (2.5)$$

Подстановка (2.2), (2.5) в уравнения

$$H = h, K = k (2.6)$$

интегрального многообразия  $J_{h,k} \subset \mathscr{P} = \mathscr{P}_{1,0}$  приводит их к виду

$$w_1^2 + w_2^2 = \frac{k - \xi^2}{z} - z, (2.7)$$

$$x_1^2(w_2^2+z) + x_2^2(w_1^2+z) = 4hz - 2\xi - 2b\left(1 - \frac{1}{z}\right). \tag{2.8}$$

Из определения (2.2) с использованием (2.4), (2.7) получаем

$$w_1 w_2 = \xi - \frac{b}{z},\tag{2.9}$$

$$z^{2}(w_{1}^{2}+z)(w_{2}^{2}+z) = kz^{2} - 2b\xi z + b^{2},$$
(2.10)

$$x_1 x_2 = 1 - z. (2.11)$$

Из (2.7), (2.9) находим

$$w_1 = \frac{1}{2\sqrt{z}} \left( \sqrt{\varphi_-} + \sqrt{\varphi_+} \right), \qquad w_2 = \frac{1}{2\sqrt{z}} \left( \sqrt{\varphi_-} - \sqrt{\varphi_+} \right),$$

где

$$\varphi_{\pm}(z,\xi) = k \pm 2b - (\xi \pm z)^2.$$

Введем комплексно сопряженные переменные

$$\mu_1 = z(w_1^2 + z), \qquad \mu_2 = z(w_2^2 + z),$$
(2.12)

и пусть  $\mu^2 = \mu_1 \mu_2$ . Тогда уравнение (2.10) примет вид

$$\mu^2 = kz^2 - 2b\xi z + b^2. \tag{2.13}$$

Отсюда, в частности, следует, что любая траектория системы изображается в виде кривой на поверхности второго порядка (2.13) в вещественном трехмерном пространстве  $\mathbb{R}^3(z,\xi,\mu)$ .

Из (2.12), (2.7) находим

$$\mu_1 + \mu_2 = z^2 - \xi^2 + k.$$

Обозначая  $\psi_{\pm} = z^2 - \xi^2 + k \pm 2\mu$ , можем записать

$$\sqrt{\mu_1} = \frac{1}{2} \left( \sqrt{\psi_+} + \sqrt{\psi_-} \right), \qquad \sqrt{\mu_2} = \frac{1}{2} \left( \sqrt{\psi_+} - \sqrt{\psi_-} \right).$$
(2.14)

Обозначим

$$\theta_{\pm} = 2hz^2 - (\xi + b)z + b \pm (1 - z)\mu.$$

Тогда из (2.8), (2.11), (2.12) получим

$$x_1 = \frac{1}{\sqrt{2\mu_2}} (\sqrt{\theta_+} + \sqrt{\theta_-}), \qquad x_2 = \frac{1}{\sqrt{2\mu_1}} (\sqrt{\theta_+} - \sqrt{\theta_-}),$$

или, с учетом (2.14),

$$x_1 = \sqrt{2} \frac{\sqrt{\theta_+} + \sqrt{\theta_-}}{\sqrt{\psi_+} - \sqrt{\psi_-}}, \qquad x_2 = \sqrt{2} \frac{\sqrt{\theta_+} - \sqrt{\theta_-}}{\sqrt{\psi_+} + \sqrt{\psi_-}}.$$

Выражения для  $M_3$ ,  $\alpha_3$  находим теперь из (2.5) и второго соотношения (2.2). Таким образом, найдены все алгебраические выражения для фазовых переменных через две вспомогательные переменные z,  $\xi$ . Возвращаясь к вещественным компонентам фазового вектора, имеем

$$M_{1} = \frac{1}{2} \sqrt{\frac{\varphi_{-}}{z}}, \qquad M_{2} = -\frac{i}{2} \sqrt{\frac{\varphi_{+}}{z}},$$

$$M_{3} = \frac{1}{4\sqrt{2}\mu z} \left\{ \sqrt{\varphi_{+}} \left( \sqrt{\psi_{-}} \sqrt{\theta_{+}} + \sqrt{\psi_{+}} \sqrt{\theta_{-}} \right) - \sqrt{\varphi_{-}} \left( \sqrt{\psi_{-}} \sqrt{\theta_{-}} + \sqrt{\psi_{+}} \sqrt{\theta_{+}} \right) \right\},$$

$$\alpha_{1} = \frac{1}{2\sqrt{2}\mu} \left( \sqrt{\psi_{+}} \sqrt{\theta_{+}} + \sqrt{\psi_{-}} \sqrt{\theta_{-}} \right),$$

$$\alpha_{2} = -\frac{i}{2\sqrt{2}\mu} \left( \sqrt{\psi_{+}} \sqrt{\theta_{-}} + \sqrt{\psi_{-}} \sqrt{\theta_{+}} \right), \qquad \alpha_{3} = \sqrt{z}.$$
(2.15)

Считая, что в представленных выше формулах выбрано  $\mu \geqslant 0$ , запишем условие существования вещественных решений (2.15) в виде системы неравенств

$$\varphi_{+}(z,\xi) \leq 0, \qquad \varphi_{-}(z,\xi) \geq 0,$$
  

$$\psi_{+}(z,\xi) \geq 0, \qquad \psi_{-}(z,\xi) \leq 0,$$
  

$$\theta_{+}(z,\xi) \geq 0, \qquad \theta_{-}(z,\xi) \leq 0.$$

Заметим, что подстановка k через постоянную интеграла F, которую по очевидным соображениям обозначим через  $f^2$ , дает

$$\theta_{+}\theta_{-} = [\xi - b - f + (b + f - 2h)z][\xi - b + f + (b - f - 2h)z]z^{2}.$$
 (2.16)

Кроме того,

$$\psi_+\psi_- = \varphi_+\varphi_- = [(z-\xi)^2 + 2b - k][(z+\xi)^2 - 2b - k].$$

Отсюда следует, что проекция интегрального многообразия  $J_{h,k}$  на плоскость  $(z,\xi)$  ограничена отрезками прямых или лучами

$$\xi - b \pm f + (b \mp f - 2h)z = 0,$$
  $z - \xi \pm \sqrt{k - 2b} = 0,$   $z + \xi \pm \sqrt{k + 2b} = 0.$ 

Каждая из этих прямых, если она корректно определена, служит касательной к кривой второго порядка

$$\mathcal{G}: kz^2 - 2b\xi z + b^2 = 0. {(2.17)}$$

Выбрав семейство таких касательных в качестве координатной сети в соответствующей компоненте плоскости, получим, что в такой сети для всех допустимых пар постоянных первых интегралов область возможности движения окажется прямоугольной, что, как правило, ведет к разделению переменных (см. [5], [6]).

#### § 3. Вещественное разделение переменных

Любая касательная к кривой (2.17) в области

$$kz^2 - 2b\xi z + b^2 \geqslant 0$$

является проекцией на плоскость  $(z,\xi)$  пары прямолинейных образующих однополостного гиперболоида (2.13) в пространстве  $\mathbb{R}^3(z,\xi,\mu)$ . Выберем в качестве параметров двух семейств таких образующих корни  $u_1, u_2$  квадратного уравнения

$$zu^{2} - 2bu + (2b\xi - kz) = 0. (3.1)$$

Его дискриминант, равный  $\mu^2$ , в силу (2.10) неотрицателен на всех траекториях, поэтому  $u_1$ ,  $u_2$  вещественны. Тогда из (3.1), (2.13) найдем

$$z = \frac{2b}{u_1 + u_2}, \qquad \xi = \frac{u_1 u_2 + k}{u_1 + u_2}, \qquad \mu = b \frac{u_1 - u_2}{u_1 + u_2}.$$
 (3.2)

Обозначим

$$p_1(u) = 2b + k - u^2$$
,  $p_2(u) = 2b - k + u^2$ ,  $p_3(u) = (u - b)^2 - f^2$ 

и пусть

$$p_{ij} = p_i(u_j), \quad r_{ij} = \sqrt{p_{ij}}, \qquad i = 1, 2, 3, \quad j = 1, 2.$$
 (3.3)

Знак каждой из величин  $r_{ij}$  произволен, но во всех используемых одновременно формулах знаки должны быть выбраны одинаковыми. Имеем

$$\varphi_{+} = -\frac{p_{11}p_{12}}{(u_1 + u_2)^2}, \qquad \varphi_{-} = -\frac{p_{21}p_{22}}{(u_1 + u_2)^2},$$

$$\psi_{+} = \frac{p_{12}p_{21}}{(u_1 + u_2)^2}, \qquad \psi_{-} = \frac{p_{11}p_{22}}{(u_1 + u_2)^2},$$

$$\theta_{+} = \frac{2bp_{31}}{(u_1 + u_2)^2}, \qquad \theta_{-} = \frac{2bp_{32}}{(u_1 + u_2)^2}.$$

Подставляя эти выражения вместе с (3.2) в (2.15), выбираем знаки радикалов согласованными таким образом, чтобы выполнялись интегральные соотношения (2.6). Для этого достаточно выполнения равенства, по смыслу согласованного с (2.16):

$$\sqrt{\varphi_+}\sqrt{\varphi_-} = \sqrt{\psi_+}\sqrt{\psi_-}.$$

Поэтому положим

$$\begin{split} \sqrt{\varphi_+} &= -\mathrm{i} \frac{r_{11} r_{12}}{u_1 + u_2}, \qquad \sqrt{\varphi_-} = \mathrm{i} \frac{r_{21} r_{22}}{u_1 + u_2}, \\ \sqrt{\psi_+} &= \frac{r_{12} r_{21}}{u_1 + u_2}, \qquad \sqrt{\psi_-} = \frac{r_{11} r_{22}}{u_1 + u_2}, \\ \sqrt{\theta_+} &= \frac{\sqrt{2b} r_{31}}{u_1 + u_2}, \qquad \sqrt{\theta_-} = \frac{\sqrt{2b} r_{32}}{u_1 + u_2}. \end{split}$$

Тогда из (2.15) получаем

$$M_{1} = i \frac{r_{21}r_{22}}{2\sqrt{2b(u_{1} + u_{2})}}, \qquad M_{2} = -\frac{r_{11}r_{12}}{2\sqrt{2b(u_{1} + u_{2})}},$$

$$M_{3} = -\frac{i}{2\sqrt{b(u_{1}^{2} - u_{2}^{2})}}(r_{12}r_{22}r_{31} + r_{11}r_{21}r_{32}),$$

$$\alpha_{1} = \frac{1}{2\sqrt{b(u_{1}^{2} - u_{2}^{2})}}(r_{12}r_{21}r_{31} + r_{11}r_{22}r_{32}),$$

$$\alpha_{2} = -\frac{i}{2\sqrt{b(u_{1}^{2} - u_{2}^{2})}}(r_{11}r_{22}r_{31} + r_{12}r_{21}r_{32}), \qquad \alpha_{3} = \frac{\sqrt{2b}}{\sqrt{u_{1} + u_{2}}}.$$

$$(3.4)$$

Для вывода дифференциальных уравнений для новых переменных  $u_1$ ,  $u_2$  из определения (2.2) в силу системы (1.1) найдем

$$\dot{\xi} = 2\alpha_3(\alpha_2 M_1 + \alpha_1 M_2), \qquad \dot{z} = 2\alpha_3(\alpha_1 M_2 - \alpha_2 M_1),$$

что в подстановке (3.4) дает

$$\dot{\xi} = \frac{(u_1^2 - k)r_{12}r_{22}r_{32} + (u_2^2 - k)r_{11}r_{21}r_{31}}{\sqrt{b}(u_1^2 - u_2^2)(u_1 + u_2)}, \qquad \dot{z} = -\frac{2\sqrt{b}(r_{11}r_{21}r_{31} + r_{12}r_{22}r_{32})}{(u_1^2 - u_2^2)(u_1 + u_2)}.$$

С другой стороны, из (3.2) имеем

$$\dot{\xi} = \frac{1}{(u_1 + u_2)^2} \left[ (u_2^2 - k)\dot{u}_1 + (u_1^2 - k)\dot{u}_2 \right], \qquad \dot{z} = -\frac{2b}{(u_1 + u_2)^2} (\dot{u}_1 + \dot{u}_2).$$

Из двух последних систем получим разделенную систему

$$(u_1 - u_2)\dot{u}_1 = \sqrt{W(u_1)}, \qquad (u_1 - u_2)\dot{u}_2 = \sqrt{W(u_2)},$$
 (3.5)

где

$$W(u) = \frac{1}{b}p_1(u)p_2(u)p_3(u) = \frac{1}{b}(2b+k-u^2)(2b-k+u^2)[(u-b)^2-f^2].$$
 (3.6)

Уравнения (3.4), (3.5) сводят случай Горячева к гиперэллиптическим квадратурам. Указанные уравнения были представлены в кратком сообщении [8].

#### § 4. Допустимая область и бифуркационная диаграмма

Начиная с этого момента считаем, что оставшийся свободный физический параметр положителен:

$$b > 0. (4.1)$$

Полученные выше аналитические результаты по разделению переменных справедливы и для b < 0, но качественное поведение системы может значительно отличаться. В частности, полная энергия в окрестности особенности  $\alpha_3 = 0$  окажется неограниченной снизу.

В качестве пары независимых (почти всюду) интегралов на  $\mathscr P$  удобно выбрать  $K,\,F.$  Ведем интегральное отображение

$$J = K \times \sqrt{F} \colon \mathscr{P} \to \mathbb{R}^2 \tag{4.2}$$

и рассмотрим интегральные многообразия

$$J_{k,f} = J^{-1}(k,f) = \{ \zeta \in \mathscr{P} : K(\zeta) = k, F(\zeta) = f^2 \}, \qquad f \geqslant 0.$$

В силу соотношения (2.1) они совпадают с соответствующими многообразиями (2.6).

Далее мы пользуемся методами работы [9]. Напомним некоторую терминологию.

Допустимым множесством называется подмножество  $\mathscr{D}$  плоскости (k, f), состоящее из всех точек, для которых  $J_{k,f} \neq \varnothing$ . Фиксируем  $(k, f) \in \mathscr{D}$ . Достижимой областью  $\mathrm{Acc}(k, f)$  называем проекцию интегрального многообразия  $J_{k,f}$  на плоскость  $(u_1, u_2)$ . Из (3.4), (3.5) в предположении (4.1) следует, что любая связная компонента достижимой области является прямоугольником,

ограниченным отрезками прямых, параллельных координатным осям. На этих прямых значение постоянной координаты является корнем многочлена W(u), называемого максимальным многочленом.

Напомним, что бифуркационной диаграммой называется подмножество  $\Sigma \subset \mathbb{R}^2$ , над которым отображение (4.2) не является локально тривиальным. В условиях рассматриваемой задачи оно совпадает с множеством критических значений J. Наличие зависимостей (3.4) гарантирует, что  $\Sigma$  есть часть дискриминантного множества  $\Delta$  многочлена (3.6), содержащаяся в  $\mathscr{D}$ :

$$\Sigma = \Delta \cap \mathscr{D}. \tag{4.3}$$

Из (3.6) получаем, что  $\Delta$  состоит из трех прямых

$$k = 2b, \qquad k = -2b, \qquad f = 0$$

и четырех парабол

$$k = \pm 2b + (f \pm b)^2. \tag{4.4}$$

Для нахождения допустимого множества требуется получить необходимые и достаточные условия вещественности значений (3.4) в терминах знаков подрадикальных выражений в наиболее компактной форме независимых неравенств, легко проверяемых в областях, на которые плоскость постоянных интегралов делится дискриминантным множеством.

Пусть  $\mathscr{B} = \{0,1\}$  – булева пара. Следуя [9], вводим функцию (булев знак) bsgn:  $\mathbb{R} \to \mathscr{B}$  такую, что

$$bsgn(\theta) = \begin{cases} 0, & \theta \geqslant 0, \\ 1, & \theta < 0. \end{cases}$$

Обозначая символом  $\oplus$  сумму по модулю 2, имеем свойство

$$bsgn(\theta_1\theta_2) = bsgn(\theta_1) \oplus bsgn(\theta_2).$$

Введем булевы переменные

$$z_i = \operatorname{bsgn} p_{i1}, \quad z_{3+i} = \operatorname{bsgn} p_{i2}, \quad i = 1, 2, 3.$$

При отсутствии кратных корней многочлена W любая компонента достижимой области  $\mathrm{Acc}(k,f)$  имеет внутреннюю точку. В такой точке условия вещественности (3.4) запишутся в виде системы  $\mathscr{B}$ -линейных уравнений

$$z_{2} \oplus z_{5} = 1,$$

$$z_{1} \oplus z_{4} = 0,$$

$$z_{3} \oplus z_{4} \oplus z_{5} = 1,$$

$$z_{1} \oplus z_{2} \oplus z_{6} = 1,$$

$$z_{2} \oplus z_{3} \oplus z_{4} = 0,$$

$$z_{1} \oplus z_{5} \oplus z_{6} = 0,$$

$$z_{1} \oplus z_{3} \oplus z_{5} = 1,$$

$$z_{2} \oplus z_{4} \oplus z_{6} = 1.$$

$$(4.5)$$

Очевидно, ранг этой системы над  $\mathcal{B}$  равен 4 и она эквивалентна системе

$$A\mathbf{z} = \boldsymbol{\zeta}^0, \tag{4.6}$$

где  $\mathbf{z}=(z_1,\ldots,z_6)^T\in\mathscr{B}^6,$  булева матрица A имеет вид (нуль изображаем пустой клеткой)

а  $\boldsymbol{\zeta}^0 = (0, 1, 1, 0)^T$ . Заметим, что

$$p_1(u) > -p_2(u),$$

поэтому к системе (4.6) можно добавить условия-импликации

$$\begin{cases} (z_1 \to \neg z_2) = 1, \\ (z_4 \to \neg z_5) = 1 \end{cases} \iff \begin{cases} (z_1, z_2) \neq (1, 1), \\ (z_4, z_5) \neq (1, 1). \end{cases}$$

Кроме того, транспозиция  $u_1 \leftrightarrow u_2$  в формулах (3.4) равносильна замене знака у всех  $r_{ij}$  одновременно, поэтому можно условиться, например, о выполнении неравенства

$$u_1^2 < u_2^2, (4.8)$$

что дает

$$p_{21} < p_{22},$$

откуда

$$(z_5 \to z_2) = 1 \iff (z_2, z_5) \neq (0, 1).$$

Перечисленным условиям отвечает лишь одно из четырех решений системы (4.6)

$$\mathbf{z} = (0, 1, 1, 0, 0, 0)^T$$
.

Следовательно, единственная система неравенств, обеспечивающая вещественность решения (3.4) при договоренности (4.8), имеет вид

$$(k+2b) - u_1^2 \ge 0,$$
  $u_1^2 - (k-2b) \le 0,$   $(u_1-b)^2 - f^2 \le 0,$   $(k+2b) - u_2^2 \ge 0,$   $u_2^2 - (k-2b) \ge 0,$   $(u_2-b)^2 - f^2 \ge 0.$  (4.9)

Так как мы условились брать f неотрицательным, отсюда сразу следует, что решения возможны лишь в квадранте

$$k \geqslant 2b, \qquad f \geqslant 0.$$
 (4.10)

Введем обозначения

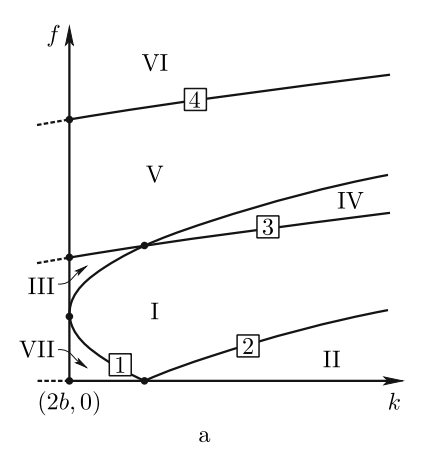
$$m_1 = \sqrt{k - 2b}, \quad m_2 = \sqrt{k + 2b}, \qquad 0 < m_1 < m_2,$$
  
 $n_1 = b - f, \quad n_2 = b + f, \qquad n_1 \leqslant n_2.$  (4.11)

При условии (4.1) из последнего уравнения (3.4) с необходимостью вытекает требование

$$u_1 + u_2 \ge 0$$
.

Поэтому при выборе (4.8) получаем, что  $u_2 \geqslant 0$ , и тогда система (4.9) определяет следующие условия на достижимую область:

$$u_1 \in [-m_1, m_1] \cap [n_1, n_2], \qquad u_2 \in [m_1, m_2] \setminus [n_1, n_2].$$
 (4.12)



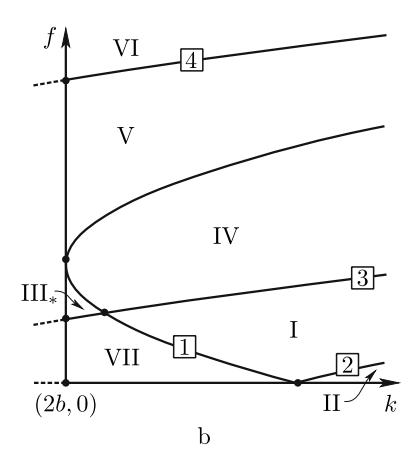


Рис. 1. Дискриминантное множество и кодировка областей: b < 1 (a); b > 1 (b)

Пересечение множества  $\Delta$  с квадрантом (4.10) показано на рис. 1. При переходе через значение b=1 исчезает область III и возникает область, обозначенная III $_*$ . На рис. 1 занумерованы участки парабол (4.4) (номера заключены в квадраты). На этих участках имеют место соответствующие равенства: 1)  $m_1=|n_1|$ ; 2)  $m_1=n_2$ ; 3)  $m_2=n_2$ ; 4)  $m_2=|n_1|$ . Сводка результатов по распределению значений (4.11) приведена в первых двух столбцах табл. 1. Оставшиеся два столбца содержат промежутки осцилляции переменных  $u_1, u_2$ , определенные согласно (4.12). Таким образом, движения возможны лишь в областях I–III, при этом проекция интегрального многообразия на плоскость разделенных переменных состоит из одного прямоугольника.

Номер Область Область Kорни Wобласти изменения  $u_1$ изменения  $u_2$ Ι  $[n_2, m_2]$  $-m_2 < -m_1 < n_1 < m_1 < n_2 < m_2$  $[n_1, m_1]$ II $-m_2 < -m_1 < n_1 < n_2 < m_1 < m_2$  $[n_1, n_2]$  $[m_1, m_2]$ III $-m_2 < n_1 < -m_1 < m_1 < n_2 < m_2$  $-m_1, m_1$  $[n_2, m_2]$  $III_*$  $-m_2 < -m_1 < m_1 < n_1 < m_2 < n_2$ Ø  $[m_1, n_1]$ IV $-m_2 < -m_1 < n_1 < m_1 < m_2 < n_2$ Ø  $[n_1, m_1]$ V  $-m_2 < n_1 < -m_1 < m_1 < m_2 < n_2$  $-m_1, m_1$ VI $n_1 < -m_2 < -m_1 < m_1 < m_2 < n_2$  $-m_1, m_1]$ VII  $-m_2 < -m_1 < m_1 < n_1 < n_2 < m_2$ Ø  $[m_1, n_1] \cup [n_2, m_2]$ 

Таблица 1

Следующая теорема суммирует полученную информацию относительно допустимого множества.

ТЕОРЕМА 1. Допустимое множество в пространстве констант первых интегралов  $K, \sqrt{F}$  имеет вид:

1)  $npu \ b < 1$ 

$$\mathcal{D} = \left\{ 0 \leqslant f \leqslant b, \, k \geqslant 2b + (f - b)^2 \right\} \cup \left\{ b \leqslant f \leqslant 2\sqrt{b} - b, \, k \geqslant 0 \right\}$$
$$\cup \left\{ f \geqslant 2\sqrt{b} - b, \, k \geqslant -2b + (f + b)^2 \right\};$$

2)  $npu \ b \geqslant 1$ 

$$\mathscr{D} = \left\{ 0 \leqslant f \leqslant 1, \ k \geqslant 2b + (f-b)^2 \right\} \cup \left\{ f \geqslant 1, \ k \geqslant -2b + (f+b)^2 \right\}.$$

В силу этих неравенств получим согласно (4.3) следующее утверждение о бифуркационной диаграмме.

ТЕОРЕМА 2. Бифуркационная диаграмма отображения  $K \times \sqrt{F}$  состоит из следующих множеств:

- 1)  $npu \ b < 1$ 
  - (a) k = 2b,  $b \leqslant f \leqslant 2\sqrt{b} b$ ,
  - (b) f = 0,  $k \ge 2b + b^2$ .
  - (c)  $k = 2b + (f b)^2$ ,  $0 \le f \le 1$ , (d)  $k = 2b + (f + b)^2$ ,  $f \ge 0$ ,

  - (e)  $k = -2b + (f+b)^2$ ,  $f \ge 2\sqrt{b} b$ :
- 2)  $npu \ b \geqslant 1$ 
  - (a) f = 0,  $k \ge 2b + b^2$ .
  - (b)  $k = 2b + (f b)^2$ ,  $0 \le f \le 1$ ,

  - (c)  $k = 2b + (f + b)^2$ ,  $f \ge 0$ , (d)  $k = -2b + (f + b)^2$ ,  $f \ge 1$ .

Отрезок оси f = 0 включается в бифуркационную диаграмму, поскольку очевидно, что нуль – критическое значение функции F, а для арифметического корня  $\sqrt{F}$  в соответствующих точках нарушается гладкость.

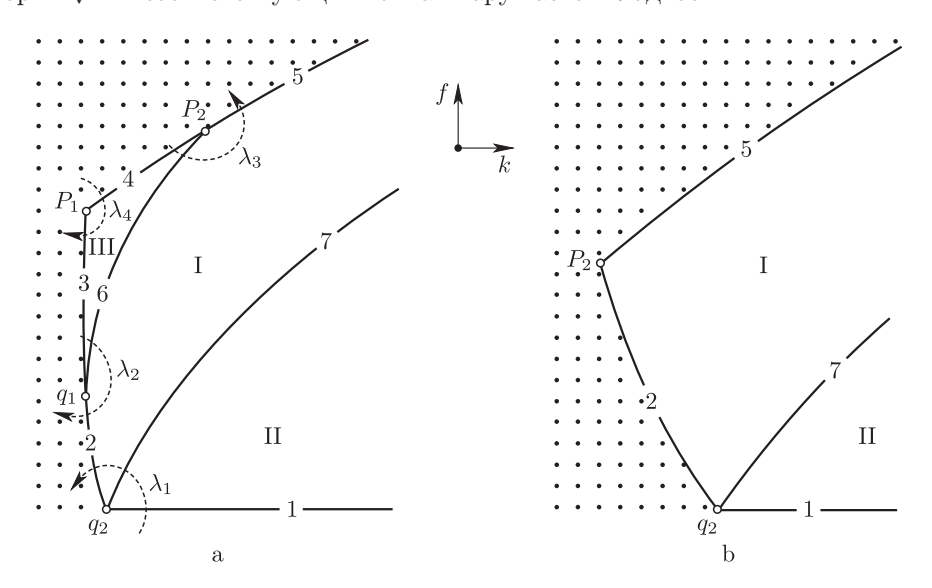


Рис. 2. Допустимое множество и бифуркационная диаграмма: b < 1 (a); b > 1 (b)

Допустимое множество и бифуркационная диаграмма указаны на рис. 2. На рис. 2, а номерами 1–7 отмечены различные участки множеств (а)–(е) из п. 1) теоремы 2; рис. 2, b номерами 1, 2, 5 и 7 отмечены участки множеств (а)–(d) из п. 2) теоремы 2, на которые их разбивают узловые точки диаграммы. Очевидно, что при переходе к значениям b>1 картина лишь упрощается, поэтому топологический анализ достаточно провести для случая b<1. На рис. 2, а отмечены пути  $\lambda_1-\lambda_4$ , указав бифуркации вдоль которых, мы получим полную информацию для построения любого грубого топологического инварианта.

#### § 5. Фазовая топология

Рассмотрим наиболее богатый случай b < 1. Для вычисления количества компонент связности регулярных интегральных многообразий (количества торов Лиувилля) и критических интегральных поверхностей воспользуемся методом булевых вектор-функций (см. [9]). Сопоставим каждому радикалу  $r_{ij}$  в (3.3) его булев знак

$$z_i = \operatorname{bsgn} r_{i1}, \quad z_{3+i} = \operatorname{bsgn} r_{i2}, \quad i = 1, 2, 3.$$

Напомним, что здесь подразумеваются следующие предварительные действия, не влияющие на используемые формулы.

Фиксирована некоторая связная компонента  $\Pi$  достижимой области – прямоугольник осцилляции пары  $(u_1, u_2)$ . Тогда вполне определены знаки всех подкоренных выражений  $p_{ij}$  в зависимостях (3.4). У отрицательных  $p_{ij}$  изменим знак, множитель і вынесем в коэффициент перед произведением радикалов и соответственно переопределим  $r_{ij}$  так, что это значение будет вещественным.

Сопоставляя каждому моному от радикалов в (3.4) компоненту булевой вектор-функции, придем к тем же выражениям для компонент, которые фигурируют в левых частях уравнений (4.5). Полученную  $\mathscr{B}$ -линейную функцию обозначим  $\widetilde{A}\colon \mathscr{B}^6 \to \mathscr{B}^8$ . Исключение зависимых компонент (элементарные преобразования строк соответствующей матрицы) сводит  $\widetilde{A}$  к функции  $A: \mathscr{B}^6 \to \mathscr{B}^4$  с матрицей (4.7), которую так же, как и ранее, обозначим через A. Дальнейший алгоритм состоит в следующем. На заданном прямоугольнике П аргументы функции А разбиваем на две группы, помещая в первую булевы знаки радикалов, не меняющих знак на траекториях в П, а во вторую – булевы знаки радикалов, периодически меняющих знак на этих траекториях. Для каждого из нефиктивных аргументов второй группы элементарными преобразованиями матрицы A добьемся того, чтобы соответствующий столбец стал единичным, после чего исключим из A этот столбец и строку, содержащую выбранный аргумент. В результате получим Я-линейное отображение, зависящее только от аргументов первой группы. Если p – его ранг, то количество связных компонент интегрального многообразия, накрывающего прямоугольник  $\Pi$ , равно  $2^p$  (см. [9]). В случае, когда компонент, зависящих только от аргументов первой группы, не остается, подагаем p=0, и соответствующий прямоугольник накрывается одной компонентой. В критическом случае (наличие кратного корня у максимального многочлена) делаем то же самое с дополнительной оговоркой о том, что радикалы, содержащие кратный корень, всегда относятся ко второй группе, даже если этот кратный корень – внутренняя точка для промежутка осцилляции и фактически за конечное время не достигается

соответствующей переменной разделения. Приведенные рассуждения применяются без учета возможности выбора различных знаков у радикала  $\sqrt{u_1+u_2}$ . Этот выбор задает одно из двух инвариантных подмногообразий в  $\mathscr{P}$ , на которые фазовое пространство системы разбивает исключенное из рассмотрения подмножество  $\alpha_3=0$  особенностей потенциала. Поэтому в полном фазовом пространстве все последующие результаты о количестве компонент связности необходимо умножить на 2. Будем считать, что для определенности мы ограничиваемся подмногообразием в  $\mathscr{P}$ , заданным неравенством  $\alpha_3>0$  (очевидно, рассматриваемая система обладает симметрией – обращением знака величин  $M_1, M_2, \alpha_3$ ).

Информация о достижимых областях, аргументах второй группы и остающихся после редукции компонентах булевой вектор-функции собрана в табл. 2.

Номер области (участка)	Достижимая область	Вторая группа	Редуцированная функция	$2^p$	$\frac{1}{2}J_{k,f}$
I	$[n_1,m_1]\times[n_2,m_2]$	2, 3, 4, 6	0	1	$\mathbf{T}^2$
II	$[n_1,n_2] \times [m_1,m_2]$	3, 4, 5	$z_1 \oplus z_2 \oplus z_6$	2	$2\mathbf{T}^2$
III	$[-m_1,m_1]\times[n_2,m_2]$	2, 4, 6	$z_1 \oplus z_3 \oplus z_5$	2	$2\mathbf{T}^2$
1	${n_1 = n_2} \times [m_1, m_2]$	3, 4, 5	$z_1 \oplus z_2 \oplus z_6$	2	$2S^1$
2	${n_1 = m_1} \times [n_2, m_2]$	2, 3, 4, 6	0	1	$S^1$
3	$\{-m_1 = m_1\} \times [n_2, m_2]$	2, 4, 6	$z_1 \oplus z_3 \oplus z_5$	2	$2S^1$
4	$[-m_1, m_1] \times \{n_2 = m_2\}$	2, 4, 6	$z_1 \oplus z_3 \oplus z_5$	2	$2S^1$
5	$[n_1, m_1] \times \{n_2 = m_2\}$	2, 3, 4, 6	0	1	$S^1$
6	$[n_1 = -m_1, m_1] \times [n_2, m_2]$	2, 3, 4, 6	0	1	$S^1 \vee S^1$
7	$[n_1, m_1 = n_2] \times [m_1 = n_2, m_2]$	2, 3, 4, 5, 6	0	1	$S^1 \vee S^1$

Таблица 2

Поясним преобразования матрицы (4.7) в трех основных случаях.

Для области I и сегментов 2, 5–7 последовательно исключаем пары "столбец–строка"  $(z_2,\zeta_2),\ (z_3,\zeta_3),\ (z_4,\zeta_4).$  Остается одна строка, в которой аргумент  $z_6$  принадлежит второй группе – исключаем и ее. Остается вектор-функция без компонент (в табл. 2 она отмечена как тождественный нуль), т.е. p=0.

Для области II и сегмента 1 последовательно исключаем пары "столбецстрока"  $(z_3,\zeta_3),\,(z_4,\zeta_4),\,$  после чего к строке  $\zeta_1$  прибавим строку  $\zeta_2$ . Столбец  $z_5$  становится единичным и исключается пара  $(z_5,\zeta_1).$  Остается одна строка, отвечающая функции  $z_1\oplus z_2\oplus z_6,\,$  в которой все аргументы принадлежат первой группе. Следовательно, p=1.

Для области III и сегментов 3, 4 исключаем пары  $(z_2,\zeta_2)$  и  $(z_4,\zeta_4)$ , после чего к строке  $\zeta_3$  прибавим строку  $\zeta_1$ . Столбец  $z_6$  становится единичным и исключается пара  $(z_5,\zeta_1)$ . Остается одна строка, отвечающая функции  $z_1\oplus z_3\oplus z_5$  с аргументами из первой группы. Следовательно, p=1.

Теперь по количеству компонент связности однозначно определяются и интегральные многообразия, лежащие в выбранной "половине" системы (фиксированный знак  $\alpha_3$ ). Они указаны в последнем столбце табл. 2. Соответственно, вдоль всех путей  $\lambda_1 - \lambda_3$  с учетом указанного направления имеем одну и ту же

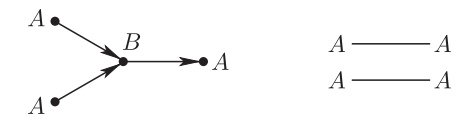


Рис. 3. Круговые молекулы для узловых точек

последовательность бифуркаций  $\varnothing \to 2A \to 2\mathbf{T}^2 \to B \to \mathbf{T}^2 \to A \to \varnothing$ , а вдоль пути  $\lambda_4$  — бифуркацию  $\varnothing \to 2A \to 2A \to \varnothing$ . Молекулы показаны на рис. 3. Здесь для базовых бифуркаций, найденных в [10], использованы современные обозначения атомов (см. [11]–[13]).

При переходе к значениям b>1 происходят очевидные упрощения – исчезает регулярная область III с двумя торами Лиувилля и примыкающие к ней сегменты  $3,\,4,\,6.$ 

Отметим, что наличие явного алгебраического решения с разделенными переменными позволяет легко вычислить инварианты траекторной эквивалентности, основываясь на числах вращения.

# § 6. Аналитическая классификация особенностей и грубый инвариант А. Т. Фоменко

Для аналитической классификации особенностей удобно рассмотреть отображение момента

$$\mathscr{F}\colon \mathscr{P}\to \mathbb{R}^2,\tag{6.1}$$

полагая  $(k,h) = \mathscr{F}(x) = (K(x),H(x)).$ 

Обозначим через  $\mathscr C$  совокупность всех критических точек отображения момента, т.е. точек, в которых  $rank\ d\mathscr F(x) < 2$ . Множество критических значений  $\Sigma = \mathscr F(\mathscr C\cap\mathscr P)$  также называется бифуркационной диаграммой. Множество  $\mathscr C$  можно стратифицировать рангом отображения момента, представив его в виде объединения  $\mathscr C = \mathscr C^0 \cup \mathscr C^1$ . Здесь  $\mathscr C^r = \{x : {\rm rank}\ d\mathscr F(x) = r\}$ .

Бифуркационную диаграмму  $\Sigma$  отображения момента (6.1) можно получить из бифуркационной диаграммы, построенной на плоскости (k,f), используя преобразование

$$k = f^2 + 4bh - b^2.$$

Теорема 2 переформулируется следующим образом.

ТЕОРЕМА 3. Бифуркационная диаграмма  $\Sigma$  отображения момента (6.1) состоит из следующих множеств:

- 1)  $npu \ 0 < b < 1$ 
  - (a) k = 2b,  $\sqrt{b} 1/2 \leqslant h \leqslant 1/2$ ,
  - (b)  $k = 4bh b^2$ ,  $h \ge (b+1)/2$ ,
  - (c)  $k = 2b + (2h 1)^2$ ,  $h \ge b/2$ ,
  - (d)  $k = -2b + (2h+1)^2$ ,  $h \geqslant \sqrt{b} 1/2$ ;
- 2)  $npu \ b \geqslant 1$ 
  - (a)  $k = 4bh b^2$ ,  $h \ge (b+1)/2$ ,
  - (b)  $k = 2b + (2h 1)^2$ ,  $h \ge b/2$ ,
  - (c)  $k = -2b + (2h+1)^2$ ,  $h \ge b/2$ .

Далее мы используем стандартную скобку Ли-Пуассона

$$\{M_i, M_j\} = -\varepsilon_{ijk} M_k, \qquad \{M_i, \alpha_j\} = -\varepsilon_{ijk} \alpha_k, \qquad \{\alpha_i, \alpha_j\} = 0,$$
$$1 \leqslant i, j, k \leqslant 3, \qquad \varepsilon_{ijk} = \frac{1}{2} (i - j)(j - k)(k - i).$$

Множество  $\mathscr{C}^0$  исчерпывается неподвижными точками системы (1.1):

$$c_i$$
:  $\mathbf{M} = \mathbf{0}$ ,  $\boldsymbol{\alpha} = \left(0, \varepsilon_1 \sqrt{1 - \sqrt{b}}, \varepsilon_2 \sqrt[4]{b}\right)$ ,  $d_j$ :  $\mathbf{M} = \mathbf{0}$ ,  $\boldsymbol{\alpha} = (0, 0, \varepsilon_3)$ , (6.2)

где  $\varepsilon_1^2 = \varepsilon_2^2 = \varepsilon_3^2 = 1$  и, соответственно,  $i = 1, \ldots, 4, \ j = 1, 2$ , причем точки  $c_i$  существуют лишь для  $0 < b \leqslant 1$ . Значения первых интегралов образуют нульмерный остов бифуркационной диаграммы:

$$P_1 = \mathscr{F}(c_i) \colon k = 2b, \quad h = \sqrt{b} - \frac{1}{2}, \qquad P_2 = \mathscr{F}(d_j) \colon k = b^2 + 1, \quad h = \frac{b}{2}.$$

ТЕОРЕМА 4. Особым точкам  $P_1$  и  $P_2$  бифуркационной диаграммы  $\Sigma$  соответствуют невырожденные особенности  $c_i$  и  $d_j$  ранга 0 отображения момента. В зависимости от значений параметра b тип особенностей определяется b табл. b.

Таблица 3

Доказательство. Линеаризации векторных полей sgrad H и sgrad K в точках (6.2) являются линейными симплектическими операторами  $A_H$ ,  $A_K$ :  $T_{c_i,d_j}\mathscr{P} \to T_{c_i,d_j}\mathscr{P}$ . Непосредственно проверяется, что они линейно независимы, т.е. порождают подалгебру в  $\mathrm{sp}(4,\mathbb{R})$  размерности 2. Характеристические уравнения оператора  $A_H$  в точках  $c_i$  и  $d_j$  имеют соответственно вид

$$c_i$$
:  $\left[\mu^2 + 4(1 - \sqrt{b})\right] \left[\mu^2 + 2(2 - \sqrt{b})\right] = 0,$   
 $d_i$ :  $(\mu^2 + b - 1)(\mu^2 + b - 1) = 0.$ 

При значениях параметра b, указанного в табл. 3, все корни соответствующего характеристического уравнения различны и разбиваются на пары, определяющие тип невырожденной особенности.

Перейдем к описанию особенностей ранга 1.

Рассмотрим участок бифуркационной диаграммы 3, что соответствует выбору

$$k = 2b,$$
  $\sqrt{b} - \frac{1}{2} \leqslant h \leqslant \frac{1}{2}.$ 

Параметризация особенности ранга 1 в этом случае имеет вид

$$\mathcal{L}_1: \begin{cases} M_1 = 0, \ M_2^2 = \frac{z^2 - b}{z}, \ M_3^2 = \frac{1 - 2h}{2b}(z^2 - b), \\ \alpha_1^2 = 1 - z - \frac{1 - 2h}{2b}z^2, \ \alpha_2^2 = \frac{1 - 2h}{2b}z, \ \alpha_3^2 = z. \end{cases}$$

Зависимость z(t) определяется дифференциальным уравнением

$$\begin{split} \dot{z}^2 &= 4 \bigg( 1 - z - \frac{1 - 2h}{2b} z^2 \bigg) (z^2 - b), \\ z &\in \bigg[ b; \frac{1}{1 - 2h} (\sqrt{b^2 + 2b - 4bh} - b) \bigg], \qquad \sqrt{b} - \frac{1}{2} \leqslant h \leqslant \frac{1}{2}. \end{split}$$

Рассмотрим многообразие  $\mathcal{M}_1$ , заданное уравнениями

$$F_1 = 0, F_2 = 0,$$

где

5

$$F_1 = M_1, \qquad F_2 = M_2^2 + \frac{b}{\alpha_2^2} - \alpha_3^2.$$

Пересечение многообразия  $\mathcal{M}_1$  с  $\mathcal{P}$  дает двумерную поверхность  $Q_1$ , которая является симплектическим подмногообразием, за исключением множества меры 0 точек вырождения индуцированной симплектической структуры при h=1/2. Для доказательства достаточно найти скобку Пуассона функций  $F_1$  и  $F_2$ :

$$\{F_1, F_2\}\big|_{Q_1} = \frac{1}{z}\sqrt{2b}\sqrt{1-2h}.$$

Гамильтониан H является первым интегралом на  $Q_1$ . Уровень энергии гладко расслаивает  $Q_1$  на одномерные множества  $\mathcal{L}_1$ . Множества  $\mathcal{L}_1$  с индуцированной на них динамикой далее называем *критическими окруженостями*.

Зная параметризацию критических окружностей  $\mathcal{L}_1$ , нетрудно аналитически определить их тип. Рассмотрим функцию K, для которой в точках  $\mathcal{L}_1$  дифференциал интеграла K равен нулю, т.е. dK = 0. Характеристическое уравнение симплектического оператора  $A_K$  в этом случае имеет вид

$$\mu^2 + 128(1 - 2h)b = 0.$$

Поэтому критические окружности  $\mathcal{L}_1$  представляют собой невырожденные особенности эллиптического типа ранга 1 отображения момента, за исключением значения h=1/2. Точке касания  $q_1=(k=2b;h=1/2)$  на бифуркационной диаграмме отвечает вырожденная особенность ранга 1 с параметризацией

$$M_1 = M_3 = \alpha_2 = 0, \quad M_2^2 = \frac{z^2 - b}{z}, \qquad \alpha_1 = 1 - z, \quad \alpha_3^2 = z,$$
  
$$\dot{z}^2 = 4(1 - z)(z^2 - b), \qquad z \in [\sqrt{b}; 1].$$

Рассмотрим теперь участок бифуркационной диаграммы 1, для которого

$$k = 4bh - b^2, h \geqslant \frac{b+1}{2}.$$
 (6.3)

В случае (6.3) постоянная интеграла Горячева f=0 порождает многообразие  $\mathcal{M}_2$ , заданное функциями

$$Z_1 = 0, \qquad Z_2 = 0,$$

где

$$Z_1 = M_1^2 - M_2^2 + \alpha_3^2 - \frac{b(\alpha_1^2 - \alpha_2^2)}{\alpha_3^2}, \qquad Z_2 = M_1 M_2 - \frac{b\alpha_1 \alpha_2}{\alpha_3^2}.$$

Пересечение многообразия  $\mathcal{M}_2$  с  $\mathscr{P}$  дает двумерную поверхность  $Q_2$ , инвариантную относительно фазового потока (1.1), расслоенную постоянной h гамильтониана на критические окружности  $\mathscr{L}_2$ . Вычисление скобки Пуассона двух функций  $Z_1$  и  $Z_2$  приводит к выражению

$$\{Z_1, Z_2\}\big|_{Q_2} = 2\sqrt{b}\sqrt{(2h-b)^2 - 1}.$$

Таким образом,  $Q_2$  является почти всюду симплектическим подмногообразием, за исключением значения h=(b+1)/2. Параметризация критических окружностей  $\mathcal{L}_2$  задается формулами

$$\mathcal{L}_{2} : \begin{cases} M_{1}^{2} = \frac{2h - 1 - b}{4z} \varphi_{2}, \ M_{2}^{2} = \frac{2h + 1 - b}{4z} \varphi_{1}, \ M_{3}^{2} = \frac{(2h + 1 - b)(2h - 1 - b)}{4b} z^{2}, \\ \alpha_{1}^{2} = \frac{2h + 1 - b}{4b} \varphi_{2}, \ \alpha_{2}^{2} = \frac{2h - 1 - b}{4b} \varphi_{1}, \ \alpha_{3}^{2} = z, \ h \geqslant \frac{b + 1}{2}, \\ \varphi_{1}(z) = (2h + 1 - b)z^{2} + 2bz - 2b, \ \varphi_{2}(z) = (b - 2h + 1)z^{2} - 2bz + 2b, \end{cases}$$

$$(6.4)$$

где зависимость вспомогательной переменной z(t) описывается дифференциальным уравнением

$$\dot{z}^2 = \frac{1}{b}\varphi_1\varphi_2.$$

Аналитическое решение (6.4) является аналогом решения Делоне в случае волчка Ковалевской.

Для определения типа критических окружностей  $\mathscr{L}_2$  рассмотрим функцию g=K-4bH, для которой dg=0 на  $\mathscr{L}_2.$  Характеристеское уравнение симплектического оператора  $A_g$  имеет вид

$$\mu^{2} + 64b(2h + 1 - b)(2h - b - 1) = 0.$$
(6.5)

Из уравнения (6.5) следует, что участку бифуркационной диаграммы 1 соответствует невырожденная особенность эллиптического типа ранга 1 отображения момента, за исключением значения h=(b+1)/2. Точке касания бифуркационной диаграммы  $q_2=(k=b^2+2b;h=(b+1)/2)$  отвечает вырожденная особенность ранга 1 с параметризацией

$$M_1 = M_3 = \alpha_2 = 0, \quad M_2^2 = \frac{z^2 + bz - b}{z}, \quad \alpha_1^2 = 1 - z, \quad \alpha_3^2 = z;$$
  
$$\dot{z}^2 = 4(1 - z) \cdot (z^2 + bz - b), \quad z \in \left[\frac{1}{2}(\sqrt{b^2 + 4b} - b); 1\right].$$

Пусть теперь

$$k = 2b + (2h - 1)^2, \qquad h \geqslant \frac{b}{2}.$$

Это условие соответствует участкам бифуркационной диаграммы с номерами 6, 2, 7. Параметризация критической окружности имеет вид

$$\mathcal{L}_3: M_1 = M_3 = \alpha_2 = 0,$$
  $\alpha_1^2 = 1 - z, \quad \alpha_3^2 = z, \quad M_2^2 = \frac{1}{z} [z^2 + (2h - 1)z - b],$  (6.6)

где вспомогательная переменная z удовлетворяет дифференциальному уравнению

$$\dot{z}^2 = 4(1-z)(z^2 + (2h-1)z - b), \qquad h \geqslant \frac{b}{2},$$
$$z \in \left[\frac{1}{2}(\sqrt{(2h-1)^2 + 4b} + 1 - 2h); 1\right].$$

Тип критической окружности (6.6) можно определить при помощи функции g=K-4(2h-1)H, для которой dg=0. Характеристическое уравнение симплектического оператора  $A_g$  имеет вид

$$\mu^2 + 64(2h - 1)(b + 1 - 2h) = 0.$$

Из этого уравнения следует, что для значений энергии b/2 < h < 1/2 и h > (b+1)/2 критическая окружность является невырожденной гиперболической особенностью ранга 1, а для 1/2 < h < (b+1)/2 — невырожденной эллиптической.

Наконец, при условии

$$k = -2b + (2h+1)^2$$

параметризация критических окружностей  $\mathscr{L}_4$  задается формулами

$$\mathcal{L}_4$$
:  $M_2 = M_3 = \alpha_1 = 0$ ,  $\alpha_2^2 = 1 - z$ ,  $\alpha_3^2 = z$ ,  $M_1^2 = \frac{1}{z}[(2h+1)z - z^2 - b]$ . (6.7)

Вспомогательная переменная г удовлетворяет дифференциальному уравнению

$$\dot{z}^2 = 4(1-z)((2h+1)z - z^2 - b),$$
 
$$z \in \left[\frac{2h+1-\sqrt{(2h+1)^2-4b}}{2}; \frac{\sqrt{(2h+1)^2-4b}+2h+1}{2}\right], \qquad \sqrt{b} - \frac{1}{2} \leqslant h \leqslant \frac{b}{2};$$
 
$$z \in \left[\frac{2h+1-\sqrt{(2h+1)^2-4b}}{2}; 1\right], \qquad h \geqslant \frac{b}{2}.$$

Для определения типа можно рассмотреть функцию g=K-4(2h+1)H. Тогда на множестве (6.7) dg=0. Характеристическое уравнение симплектического оператора  $A_g$  имеет вид

$$\mu^2 + 64(2h+1)(2h+1-b) = 0. (6.8)$$

Из уравнения (6.8) следует, что участкам бифуркационной диаграммы 4 и 5 отвечает невырожденная эллиптическая особенность ранга 1.

Зная типы особенностей ранга 1, можно легко указать перестройки торов Лиувилля при критических значениях отображения момента (6.1). На рис. 4 перестройка торов Лиувилля описывается атомом, обозначение которого указано около стрелки. В рассматриваемом интегрируемом случае встречаются

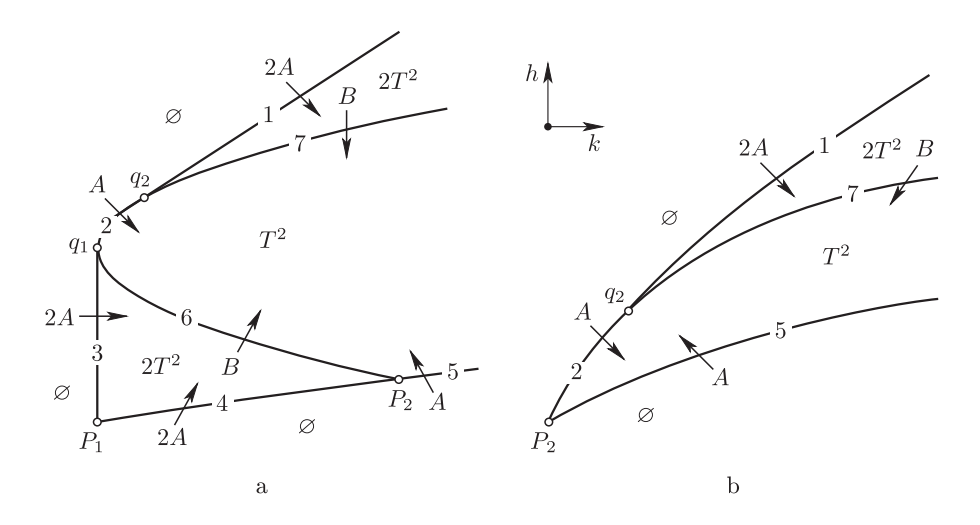


Рис. 4. Бифуркационная (k, h)-диаграмма: 0 < b < 1 (a); b > 1 (b)

только два вида атомов: A и B. Также легко устанавливается топологический тип  $Q_h^3(b) = \{(M, \alpha) \in \mathscr{P} : H = h\}$  изоэнергитеческой поверхности по Смейлу как приведенного расслоения окружностей над областью возможности движения на сфере Пуассона  $\{\alpha : U_b(\alpha) \leq h\}$ . Здесь  $U_b(\alpha)$  — эффективный потенциал, который определяется выражением

$$U_b(\boldsymbol{\alpha}) = \frac{1}{2} \left[ \alpha_1^2 - \alpha_2^2 + \frac{b}{\alpha_3^2} \right].$$

Для различных значений параметров b и h многообразие  $Q_h^3(b)$  представляет собой либо  $S^3$ , либо  $2S^3$ .

Из определения топологического инварианта (см. [12]) следует, что в состав множества параметров, разделяющего различные инварианты Фоменко на изоэнергетических многообразиях  $Q_h^3(b)$ , нужно к диаграмме Смейла как к образу неподвижных точек системы уравнений (1.1) добавить образ множества вырожденных критических точек ранга 1. Отметим, что для классических задач динамики твердого тела аналогичные диаграммы построены в работах А. А. Ошемкова [14], [15].

Таким образом, мы приходим к следующей простой системе разделяющих кривых на плоскости параметров (b,h):

$$\begin{split} h &= \sqrt{b} - \frac{1}{2}, \quad 0 \leqslant b \leqslant 1; \qquad h = \frac{b}{2}, \quad b \geqslant 0; \\ h &= \frac{1}{2}, \quad 0 \leqslant b \leqslant 1; \qquad h = \frac{b+1}{2}, \quad b \geqslant 0. \end{split}$$

Для системы с гамильтонианом (1.2) на рис. 5 изображены разделяющие кривые на плоскости  $\mathbb{R}^2(b,h)$ . Они разбивают плоскость на четыре области разных типов.

В каждой области указана пара  $(Q_h^3(b), W)$ , т.е. изоэнергетическое 3-многообразие и соответствующая ему молекула W в виде графа Фоменко. Таким

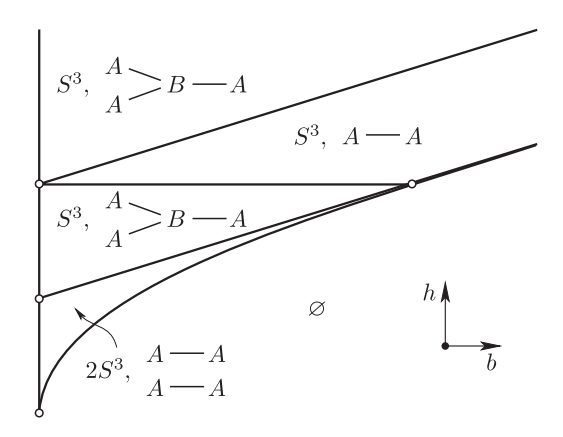


Рис. 5. Грубый инвариант Фоменко  $(Q_h^3(b), W)$ 

образом, получается полный список, состоящий из четырех пар, который классифицирует систему (1.1) с точностью до грубой лиувиллевой эквивалентности.

Автор выражает искреннюю признательность профессору М. П. Харламову за полезные советы и постоянное внимание к работе.

#### Список литературы

- [1] Д. Н. Горячев, "Новые случаи интегрируемости динамических уравнений Эйлера", Изв. Варшавского ун-та, 1916, № 3, 1–13.
- [2] С.А. Чаплыгин, "Новое частное решение задачи о движении твердого тела в жидкости", Труды отд-я физ. наук общества любителей естествознания, 11:2 (1903), 7–10.
- [3] H. M. Yehia, "New integrable problems in the dynamics of rigid bodies with the Kovalevskaya configuration. I. The case of axisymmetric forces", *Mech. Res. Commun.*, **23**:5 (1996), 423–427.
- [4] A. V. Tsiganov, "On the generalized Chaplygin system", Вопросы квантовой теории поля и статической физики. 21, Зап. научн. сем. ПОМИ, **374**, ПОМИ, СПб., 2010, 250–267; J. Math. Sci. (N. Y.), **168**:6 (2010), 901–911.
- [5] М. П. Харламов, "Обобщение 4-го класса Аппельрота: область существования движений и разделение переменных", *Нелинейная динам.*, **2**:4 (2006), 453–472.
- [6] M. P. Kharlamov, "Separation of variables in the generalized 4th Appelrot class", Regul. Chaotic Dyn., 12:3 (2007), 267–280.
- [7] M. P. Kharlamov, A. Y. Savushkin, "Explicit integration of one problem of motion of the generalized Kowalevski top", *Mech. Res. Comm.*, **32**:5 (2005), 547–552.
- [8] П. Е. Рябов, "Явное интегрирование и топология случая Д. Н. Горячева", Докл. *PAH*, **439**:3 (2011), 315–318; англ. пер.: Р. Е. Ryabov, "Explicit integration and topology of D. N. Goryachev case", *Dokl. Math.*, **84**:1 (2011), 502–505.
- [9] М. П. Харламов, "Топологический анализ и булевы функции. І. Методы и приложения к классическим системам", *Нелинейная динам.*, **6**:4 (2010), 769–805.
- [10] М. П. Харламов, "Топологический анализ классических интегрируемых систем в динамике твердого тела", Докл. АН СССР, **273**:6 (1983), 1322–1325; англ. пер.: М. Р. Kharlamov, "Topological analysis of classical integrable systems in the dynamics of the rigid body", Soviet Math. Dokl., **28**:3 (1983), 802–805.

- [11] А. Т. Фоменко, "Теория Морса интегрируемых гамильтоновых систем", Докл. АН СССР, **287**:5 (1986), 1071–1075; англ. пер.: А. Т. Fomenko, "A Morse theory for integrable Hamiltonian systems", Soviet Math. Dokl., **33**:2 (1986), 502–506.
- [12] А. Т. Фоменко, "Топологические инварианты гамильтоновых систем, интегрируемых по Лиувиллю", Функц. анализ и его прил., **22**:4 (1988), 38–51; англ. пер.: А. Т. Fomenko, "Topological invariants of Liouville integrable Hamiltonian systems", Funct. Anal. Appl., **22**:4 (1988), 286–296.
- [13] А.В. Болсинов, А.Т. Фоменко, Интегрируемые гамильтоновы системы. Геометрия, топология, классификация, т. 1, 2, Изд. дом "Удмуртский университет", Ижевск, 1999, 444 с., 447 с.; англ. пер.: А. V. Bolsinov, А.Т. Fomenko, Integrable Hamiltonian systems. Geometry, topology, classification, Chapman & Hall/CRC, Boca Raton, FL, 2004, xvi+730 pp.
- [14] A. A. Oshemkov, "Fomenko invariants for the main integrable cases of the rigid body motion equations", Topological classification of integrable systems, Adv. Soviet Math.,
   6, Amer. Math. Soc., Providence, RI, 1991, 67–146.
- [15] А. А. Ошемков, "Вычисление инвариантов Фоменко для основных интегрируемых случаев динамики твердого тела", Тр. сем. по вект. и тенз. анализу, 25:2 (1993), 23–109.

Павел Евгеньевич Рябов (Pavel E. Ryabov)

Финансовый университет при Правительстве Российской Федерации, г. Москва

 $E ext{-}mail: \mathtt{orelryabov@mail.ru}$ 

Поступила в редакцию 06.11.2013